

## 6.4. ИССЛЕДОВАНИЕ ВЫЗВАННЫХ ПОТЕНЦИАЛОВ МОЗГА ПРИ СК

Гиперкинезы, как и все виды моторной активности, рефлекторны. Эти механизмы предусматривают особую роль сенсорного контроля и сенсорных влияний на течение и изменчивость гиперкинезов (Петелин Л.С., 1970). Одним из важнейших достижений нейрофизиологии явилось обнаружение систем, осуществляющих настройку периферических афферентных устройств в соответствии с оптимальными требованиями регуляции (Гранит Р., 1973). В настоящее время многочисленными исследованиями показано, что сложные функции поддержания координированного распределения мышечного тонуса осуществляются за счет регуляции афферентного притока.

Таким образом, афферентация в этой системе играет роль не столько информационную, сколько энергетическую, являясь исходным пунктом потока импульсов в замкнутой цепи, обеспечивающей координированное напряжение мышц (Гранит Р., 1973; Шаповалов А.И., 1976). С учетом большого значения афферентного притока от мышечно-суставного аппарата в организации движений объективное исследование центральных аппаратов афферентации при экстрапирамидных заболеваниях может иметь первостепенное значение. Стриарный комплекс оказывает мощное модулирующее, а возможно, и организующее воздействие на афферентные и эффеरентные функции мозга (Ривина Е.Ю., 1968; Смирнов В.М., 1976).

Для выяснения роли различных афферентных систем в переработке сенсорного сигнала, а также для тестирования состояния центральных и периферических механизмов, участвующих в афферентном процессе, мы провели исследование вызванных потенциалов (ВП) мозга у пациентов со спастической кривошеей. Нами исследовались акустические стволовые вызванные потенциалы (АСВП) и соматосенсорные вызванные потенциалы (ССВП). Известно, что проводящие пути и центры этих модальностей локализуются или проходят в стволовых структурах (Гнездецкий В.В., 1997).

Метод связан с выделением слабых и сверхслабых изменений электрической активности мозга в ответ на стимул и регистрацию их благодаря современной электронной технике. Для регистрации вызванных потенциалов применяли автома-

тизированную систему регистрации и анализа вызванных потенциалов Keuropoint (Дания). Методика исследования АСВП: проводили моноауральную стимуляцию на правое и левое ухо; частота подачи звуковых сигналов – 3,7 Гц, амплитуда на 60 дБ выше слухового порога, число усреднений – 2000.

Отводили АСВП с вертекса и ипсолатеральных сосцевидных отростков. Изучали латентные периоды I, II, III, IV, V, VI пиков и межпиковые интервалы I–III, III–V, I–V компонентов АСВП.

Можно с достаточной уверенностью считать, что первая волна обусловлена в основном активностью VIII нерва, а последующие – структурами ствола, причем, чем больше порядковый номер компонента, тем более ростральные уровни ствола участвуют в его интеграции (Зенков Л.Р., Ронкин М.А., 2004). З.Ш.Кванишвили (1977, 1982) делает вывод о том, что более поздние компоненты обусловлены активностью, идущей через ретикулярную формацию среднего мозга и таламические ядра. В модуляции поздних компонентов слуховых ВП могут участвовать лимбические структуры мозга (Зенков Л.Р., Молла-Заде А.Н., 1983).

Нами исследовались ССВП, выделенные с 3 стандартных уровней при стимуляции срединного нерва левой и правой рук. Интенсивность стимуляции подбирали таким образом, чтобы при стимуляции было видно небольшое движение большого пальца при длительности стимула 0,2 мс и частоте стимуляции 3 Гц. При регистрации частотная полоса составляла 10–300 Гц, чувствительность поля усреднения – 5 мкВ/дел, число усреднений – 600.

Идентифицировали основные компоненты (N10, N13, N20), измеряли время проведения сигнала от плечевого сплетения до шейного уровня спинного мозга (N10–N13), от шейного уровня спинного мозга до коры (N13–N20) и время проведения от плечевого сплетения до коры (N10–N20).

Нами обследованы 17 больных СК (9 мужчин и 8 женщин) с давностью заболевания от 2 мес. до 15 лет. Тоническая форма СК была у 12 пациентов, тонико-клоническая – у 6. Тяжесть проявления гиперкинеза оценивали по четырем степеням: I имела место у 3 больных, II – у 6, III – у 8, IV – у одного. В качестве группы сравнения обследованы 20 практически здоровых лиц.

#### 6.4.1. Исследование акустических стволовых вызванных потенциалов

Исследование акустических стволовых вызванных потенциалов выявило, что для всех пациентов со спастической кривошеею характерны отчетливое уменьшение амплитуды и «сглаженность» основных пиков. В группе больных с преобладанием центральных влияний АСВП характеризовались более грубыми изменениями: отсутствием VI пика (в 70% наблюдений), удлинением латентности V пика, у 77% пациентов этой группы были выявлены интерауральные различия для межпиковых латентностей (0,4 мс и больше). Иска<sup>жение параметров АСВП в этой группе больных указывает на дисфункцию стволовых структур. Во 2-й группе пациентов параметры исследованных АСВП существенно не отличались от нормы.</sup>

Данные исследования АСВП приведены в таблице 5. Нами выявлено, что для всех пациентов со спастической кривошеею характерны достоверное ( $p<0,01$ ) уменьшение амплитуды и «сглаженность» всех пиков (рис. 11).

Исследование латентностей I, III, V пиков АСВП и межпиковых интервалов I–III, III–V, I–V выявило увеличение ( $p<0,05$ ) латентности V компонента в группе больных СК, что, однако, существенно не повлияло на величины межпикововых латентностей в основной и контрольной группах.

У 59% обследованных нами больных СК определяются различия (больше допустимых, т.е.  $>0,4$  мс) для межпикововых латентностей. В контрольной группе – менее 0,3 мс. В клинической картине у таких пациентов выраженные проявления гиперкинеза, сопутствующие дистонические синдромы (тик, писчий спазм).

Обнаружены различия некоторых параметров АСВП у больных 1-й и 2-й групп и здоровых, что представлено в таблице 6.

#### 6.4.2. Исследование соматосенсорных вызванных потенциалов

Вызванные потенциалы, выделяемые на скальпе при тактильной или электрической стимуляции различных нервов, носят название соматосенсорных вызванных потенциалов (ССВП). Техника когерентного усреднения была впервые

**Таблица 5**  
Сравнение величин латентностей для компонентов АСВП и межпиковых латентностей у здоровых испытуемых и при спастической кривошее

| Параметры                      | Здоровые (n = 20) | Больные СК (n = 17) | P     |
|--------------------------------|-------------------|---------------------|-------|
| Латентность (мс)               |                   |                     |       |
| I пика                         | 1,56±0,03         | 1,59±0,07           | >0,1  |
| II пика                        | 2,73±0,04         | 2,67±0,07           | >0,1  |
| III пика                       | 3,66±0,05         | 3,78±0,07           | >0,1  |
| IV пика                        | 4,85±0,03         | 4,97±0,07           | >0,1  |
| V пика                         | 5,64±0,04         | 5,85±0,08           | <0,05 |
| VI пика                        | 7,16±0,06         | 7,30±0,09           | >0,1  |
| I–III межпиковый интервал (мс) | 2,1±0,06          | 2,096±0,04          | >0,1  |
| III–V межпиковый интервал (мс) | 1,98±0,02         | 2,092±0,08          | >0,1  |
| I–V межпиковый интервал (мс)   | 4,08±0,04         | 4,20±0,08           | >0,1  |
| Амплитуда (мкВ) I пика         | 0,46±0,04         | 0,27±0,03           | <0,01 |
| Амплитуда (мкВ) III пика       | 0,55±0,05         | 0,27±0,05           | <0,01 |
| Амплитуда (мкВ) V пика         | 0,72±0,06         | 0,46±0,05           | <0,01 |

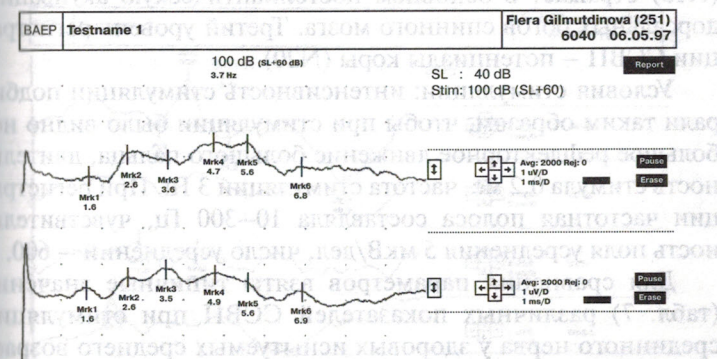


Рис. 11. АСВП при спастической кривошее (определяются уменьшение амплитуды и «сглаженность» всех пиков).

**Таблица 6**  
Различия некоторых параметров АСВП у больных СК  
(1-я и 2-я группы) и здоровых

| Параметры  | 1-я группа<br>(n = 11) | 2-я группа<br>(n = 6) | Норма<br>(n = 20) | P1–2  | P1–3  | P2–3 |
|--|------------------------|-----------------------|-------------------|-------|-------|------|
| Наличие VI пика АСВП                                       | 30%                    | 100%                  | 100%              | <0,01 | <0,01 | >0,1 |
| Латентность V пика (мс)                                    | 5,97±0,06              | 5,68±0,04             | 5,64±0,04         | <0,01 | <0,05 | >0,1 |
| Различия (больше допустимых) для межпикововых латентностей | 77%                    | —                     | —                 | <0,01 | <0,01 | >0,1 |

применена Даусоном (Dawson G.D., 1954) для исследования ССВП при стимуляции локтевого нерва.

**Идентификация компонентов.** При записи с точки Эрба основным компонентом является позитивно-негативная волна с более выраженной негативной частью, отражающей периферическую активацию нейронов в ганглиях плечевого сплетения (обозначается N10). Потенциал шейного уровня (N13) отражает в основном постсинаптическую активацию дорсальных рогов спинного мозга. Третий уровень регистрации ССВП – потенциалы коры (N20).

**Условия стимуляции:** интенсивность стимуляции подбирали таким образом, чтобы при стимуляции было видно не большое рефлекторное движение большого пальца, длительность стимула 0,2 мс, частота стимуляции 3 Гц. При регистрации частотная полоса составляла 10–300 Гц, чувствительность поля усреднения 5 мкВ/дел, число усреднений – 600.

Для сравнения параметров взяты типичные значения (табл. 7) различных показателей ССВП при стимуляции срединного нерва у здоровых испытуемых среднего возраста (от 24–40 лет) и роста (160–180 см) (Verroust J. et al., 1990; Liverson J.A., Dong R., 1992).

Данные исследований ССВП представлены в таблице 8.

#### 6.4. Исследование вызванных потенциалов мозга при СК

**Таблица 7**  
Статистические значения параметров ССВП при стимуляции срединного нерва (средние значения параметров) в норме

| Параметры | Латентность (мс) | Амплитуда (мкВ) |
|-----------|------------------|-----------------|
| Эрба N10  | 9,6±0,7          | 5,4±2,5         |
| Шея N13   | 13,2±0,8         | 2,9±1,3         |
| Кора N20  | 18,9±1,0         | 2,8±1,6         |
| Интервалы |                  |                 |
| N10–N13   | 3,5±0,4          | —               |
| N13–N20   | 5,8±0,5          | —               |
| N10–N20   | 9,2±0,5          | —               |

При сравнении параметров ССВП у пациентов со спастической кривошееей с нормой было выявлено достоверное ( $p<0,01$ ) увеличение амплитуды основных пиков, что представлено на рисунке 12.

У 64% обследованных больных СК выявлялись сторонние различия (больше допустимых) межпикововых интервалов N10–N13, у 70% – интервалов N13–N20 и у 75% – при исследовании N10–N20 (см. рис. 13).

При сравнении латентностей пиков между правой и левой сторонами у 73% обследованных пациентов выявлены различия (больше допустимых) преимущественно пиков N13

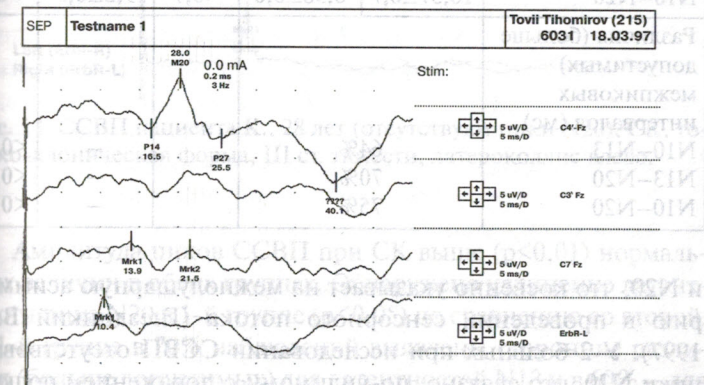


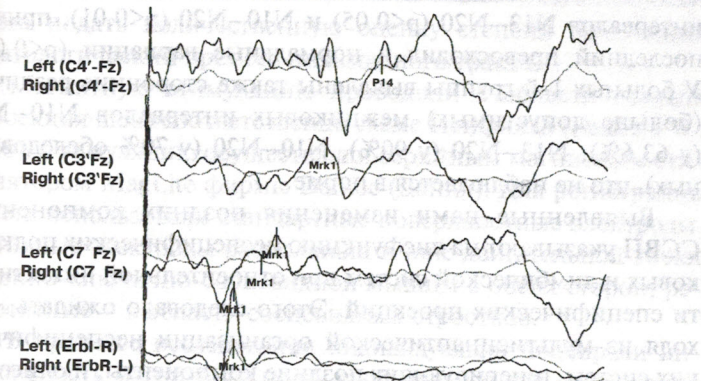
Рис. 12. ССВП у пациента Т., 53 лет (определяется увеличение амплитуды основных пиков).

**Таблица 8**  
**Значения параметров ССВП при стимуляции срединного нерва у больных спастической кривошееей и здоровых лиц (средние значения параметров)**

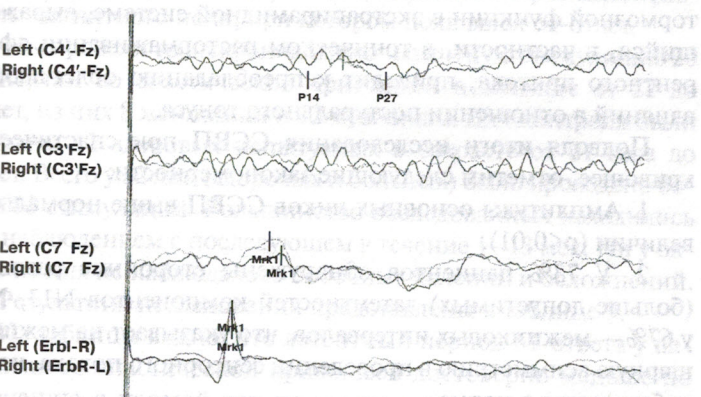
| Параметры   | Больные СК<br>(n = 17) |           | P1–2 | Нормальные вариации | P     |
|---|------------------------|-----------|------|---------------------|-------|
|   | D                      | S         |      |                     |       |
| Амплитуда (мкВ)   |                        |           |      |                     |       |
| N10   | 9,15±1,2               | 9,51±1,1  | >0,1 | 5,4±0,4             | <0,01 |
| N13   | 5,31±0,4               | 5,73±0,4  | >0,1 | 2,9±0,3             | <0,01 |
| N20   | 5,81±0,7               | 6±0,9     | >0,1 | 2,8±0,3             | <0,01 |
| Латентность (мс)  |                        |           |      |                     |       |
| N10   | 10,11±0,2              | 10,13±0,2 | >0,1 | 9,6±0,7             | >0,1  |
| N13   | 13,4±0,3               | 13,6±0,3  | >0,1 | 13,2±0,8            | >0,1  |
| N20   | 20,5±0,7               | 18,7±0,6  | >0,1 | 18,9±1,0            | >0,1  |
| Различия (больше допустимых) латентностей (мс)            |                        |           |      |                     |       |
| N10   | —                      |           |      | —                   | >0,1  |
| N13   | 40%                    |           |      | —                   | <0,05 |
| N20   | 40%                    |           |      | —                   | <0,05 |
| Интервалы (мс)  |                        |           |      |                     |       |
| N10–N13   | 3,28±0,2               | 3,49±0,3  | >0,1 | 3,5±0,4             | >0,1  |
| N13–N20   | 7±0,8                  | 5,21±0,5  | >0,1 | 5,8±0,5             | >0,1  |
| N10–N20   | 10,37±0,7              | 8,58±0,6  | <0,1 | 9,2±0,5             | >0,1  |
| Различия (больше допустимых) межпикововых интервалов (мс) |                        |           |      |                     |       |
| N10–N13   | 64%                    |           |      | —                   | <0,01 |
| N13–N20   | 70%                    |           |      | —                   | <0,01 |
| N10–N20   | 75%                    |           |      | —                   | <0,01 |

и N20, что косвенно указывает на межполушарную асимметрию в проведении сенсорного потока (Гнедицкий В.В., 1997). У 2 больных при исследовании ССВП отсутствовали пики N20, что связано, по-видимому, с поражением подкорково-стволовых структур и блокадой проведения импульсов на этом уровне (см. рис.14).

#### 6.4. Исследование вызванных потенциалов мозга при СК



**Рис. 13.** ССВП больного Ш., 21 г., СК, тонико-клоническая форма, III ст. тяжести.



**Рис. 14.** ССВП пациента К., 28 лет (отсутствуют пики N20). СК, тонико-клоническая форма, III ст. тяжести, латероколлис влево.

Амплитуда пиков ССВП при СК выше ( $p<0,01$ ) нормальных величин в обеих группах. Обнаружено удлинение латентности пика N20 в 1-й группе ( $p<0,05$ ) по сравнению со второй. В 1-й группе в 70% наблюдений выявлены сторонние различия (больше допустимых) для латентностей N13 и в 60% – для латентностей N20, во 2-й группе таких различий не выявлено. В 1-й группе было обнаружено также удлинение межпиковых

интервалов N13–N20 ( $p<0,05$ ) и N10–N20 ( $p<0,01$ ), причем последний превосходил и нормальные вариации ( $p<0,05$ ). У больных 1-й группы выявлены также сторонние различия (больше допустимых) межпикововых интервалов N10–N13 (у 63,6%), N13–N20 (у 90%), N10–N20 (у 70% обследованных), что не наблюдается в норме.

Выявленные нами изменения поздних компонентов ССВП указывают на дисфункцию неспецифических подкорковых и лимбической систем при относительной интактности специфических проекций. Этого следовало ожидать, исходя из мультисинаптической организации неспецифических систем, генерирующих поздние компоненты, и олигосинаптической организации систем специфических реле (Зенков Л.Р., Мельничук П.В., 1985).

Можно предположить, что при СК дефект тонической тормозной функции в экстрапирамидной системе, выражаящийся, в частности, в тоническом растормаживанииafferentного притока, приводит к преобладанию облегчающих влияний в отношении постурального тонуса.

Подводя итоги исследования ССВП при спастической кривошее, отметим следующие закономерности:

1. Амплитуды основных пиков ССВП выше нормальных величин ( $p<0,01$ ).

2. У 73% пациентов обнаружены сторонние различия (больше допустимых) латентностей компонентов N13, N20, у 67% – межпикововых интервалов, что указывает на межполушарную асимметрию в проведении сенсорного потока, что не наблюдается в норме.

3. Выявлены различия параметров ССВП в двух группах больных СК. В 1-й группе обнаружено искажение параметров ССВП, во 2-й группе показатели практически не отличались от нормы за исключением амплитуд пиков.

## 6.5. ТРАНСКРАНИАЛЬНАЯ МАГНИТНАЯ СТИМУЛЯЦИЯ

Развитие электронной техники, разработка и внедрение в клиническую практику метода магнитной стимуляции периферических нервов и головного мозга позволили в клинических условиях проследить состояние моторной системы

мозга и дать количественную оценку степени вовлечения в патологический процесс пирамидного тракта.

Магнитную стимуляцию проводили в области скальпа (проекция шеи) соответственно схеме Пенфилда (Penfield W., 1948). Стимуляцию осуществляли серийным магнитным стимулятором MagLite фирмы Dantec (Дания). Для регистрации ответа использовали стандартные поверхностные электроды. Активные электроды располагали в зоне двигательной точки грудино-ключично-сосцевидной мышцы с обеих сторон, референтные – в области сосцевидных отростков.

В процессе исследования индивидуально подбирали интенсивность магнитного поля, необходимую для сокращения соответствующей мышцы. Регистрацию M-ответов и измерение латентных периодов проводили на электромиографе Keypoint фирмы Dantec (Дания). Учитывался порог интенсивности магнитного поля, при котором появлялся M-ответ.

Мы провели транскраниальную магнитную стимуляцию 20 пациентам со спастической кривошеею в возрасте от 22 до 63 лет, из них 8 женщинам и 12 мужчинам. Для контроля были выбраны 12 здоровых испытуемых в возрасте от 21 года до 38 лет. Всего у 32 лиц (здоровых и больных) было проведено более 600 стимуляций. Большинство обследованных находились под наблюдением в последующем в течение 1–13 мес. Ни у одного из них не наблюдалось побочных явлений и осложнений.

Результаты исследования представлены в таблице 9.

Из таблицы видно, что латентный период M-ответа у пациентов со спастической кривошеею достоверно меньше по сравнению с нормой как на стороне стимуляции, так и на противоположной.

Форма M-ответа у больных СК, как правило, изменена. Вместо нормального двухфазного или трехфазного M-ответа (см. рис. 15) при стимуляции коры регистрировались многофазные M-ответы, причем нередко наиболее отдаленные компоненты M-ответа имели латентность, на 10 мс превышающую первые компоненты (см. рис. 16). Длительность M-ответа превосходит нормальные значения ( $23,82\pm1,26$  и  $16,58\pm0,92$  мс).

Порог интенсивности магнитного поля, при котором появляется M-ответ, меньше по сравнению с нормой ( $p<0,01$ ).